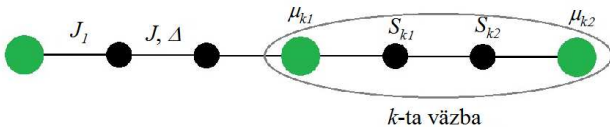


KVANTOVÁ NELOKÁLNOSŤ A PREVIAZANIE V TRIMERIZOVANOM ISINGOVOM-HEISENBERGOVOM REŤAZCI

Jaroslav Pavličko

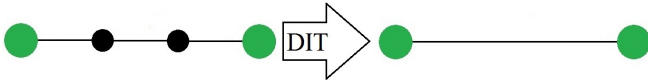
Isingov-Heisenbergov trimerizovaný ret'azec



$$\begin{aligned}\hat{\mathcal{H}} = & \sum_{i,j} J \left[\Delta \left(\hat{S}_i^x \hat{S}_j^x + \hat{S}_i^y \hat{S}_j^y \right) + \hat{S}_i^z \hat{S}_j^z \right] \\ & + \sum_{k,l} J_1 \hat{S}_k^z \hat{\mu}_l^z - \sum_l H_A \hat{\mu}_l^z - \sum_k H_B \hat{S}_k^z\end{aligned}$$

- ▶ J - Heisenbergova interakcia
- ▶ J_1 - Isingova interakcia
- ▶ Δ - anizotropný parameter
- ▶ H_A a H_B - vonkajšie magnetické polia pôsobiace na Isingove, respektíve Heisenbergove spiny

Výpočet



- ▶ dekoračno-iteračná transformácia a metóda matice prechodu
- ▶ partičná funkcia Isingovho-Heisenbergovho reťazca:

$$\mathcal{Z} = A^N \mathcal{Z}_0(R, H),$$

kde \mathcal{Z}_0 je partičnou funkciou ekvivalentného Isingovho reťazca

- ▶ hamiltonián pre Isingov reťazec:

$$\mathcal{H} = -R \sum_i \mu_i \mu_{i+1} - H \sum_i \mu_i$$

- ▶ Gibbsova voľná energia, magnetizácia
- ▶ korelačné funkcie
- ▶ redukovaná matica hustoty

Výpočet

- ▶ Bellova nerovnosť pomocou Horodeckého predpisu:

$$\mathcal{B} = 2\sqrt{\lambda_1 + \lambda_2} \leq 2,$$

kde λ_1 a λ_2 sú dve najväčšie vlastné hodnoty matice $\mathcal{L}^T \mathcal{L}$, kde

$$\mathcal{L}_{ij} = \text{Tr} [\rho (\sigma_i \otimes \sigma_j)], \quad i, j = 1, 2, 3$$

- ▶ concurrence definovaná Woottersom:

$$\mathcal{C} = \max \left\{ O, \lambda_{max} - \lambda_1 - \lambda_2 - \lambda_3 \right\},$$

kde λ_{max} je najväčšou a $\lambda_i (i = 1, 2, 3)$ sú odmocninami vlastných hodnôt matice $\rho \tilde{\rho}$, kde

$$\tilde{\rho} = (\sigma_y \hat{\otimes} \sigma_y) \rho^* (\sigma_y \hat{\otimes} \sigma_y)$$

Výpočet

- ▶ výsledný predpis pre Bellovu funkciu:

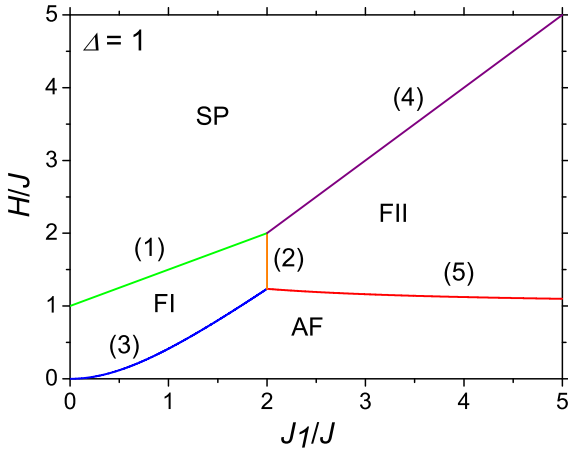
$$\mathcal{B} = \max \left\{ 8\sqrt{2(C^{xx})^2}, 8\sqrt{(C^{xx})^2 + (C^{zz})^2} \right\}.$$

- ▶ výsledný predpis pre concurrence:

$$\mathcal{C} = \max \left\{ 0, 4|C^{xx}| - 2\sqrt{\left(\frac{1}{4} + C^{zz}\right)^2 - m^2} \right\}.$$

- ▶ C^{xx} - x -ová zložka korelačnej funkcie
- ▶ C^{zz} - z -ová zložka korelačnej funkcie
- ▶ m - uniformná magnetizácia

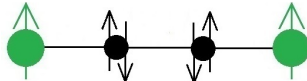
Fázový diagram základného stavu



- ▶ AF - antiferomagnetická fáza; FI - ferimagnetická fáza I; FII - ferimagnetická fáza II; SP - saturovaná paramagnetická fáza

Základný stav

- ferimagnetická fáza I:



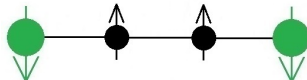
$$|FI\rangle = \prod_{k=1}^N |\uparrow_{\mu_k}\rangle \otimes \frac{1}{\sqrt{2}} (|\uparrow\downarrow\rangle - |\downarrow\uparrow\rangle)_k$$

- antiferomagnetická fáza:

$$|AF\rangle = \prod_{k=1}^{N/2} |\uparrow_{\mu_{2k-1}}\rangle \otimes \frac{1}{\sqrt{2}} (a_- |\uparrow\downarrow\rangle - a_+ |\downarrow\uparrow\rangle)_{\mu_{2k-1}} |\downarrow_{\mu_{2k}}\rangle \otimes \frac{1}{\sqrt{2}} (a_+ |\uparrow\downarrow\rangle - a_- |\downarrow\uparrow\rangle)_{\mu_{2k}}, \text{ kde } a_\pm = \sqrt{\left[1 \pm \frac{J_1}{\sqrt{J_1^2 + J^2 \Delta^2}}\right]}$$

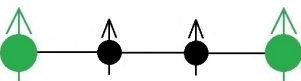
- ferimagnetická fáza II:

$$|FII\rangle = \prod_{k=1}^N |\downarrow_{\mu_k}\rangle \otimes |\uparrow\uparrow\rangle_k$$

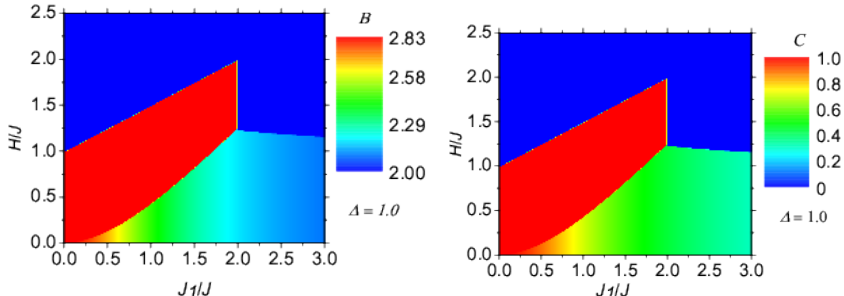


- saturovaná paramagnetická fáza:

$$|SP\rangle = \prod_{k=1}^N |\uparrow_{\mu_k}\rangle \otimes |\uparrow\uparrow\rangle$$



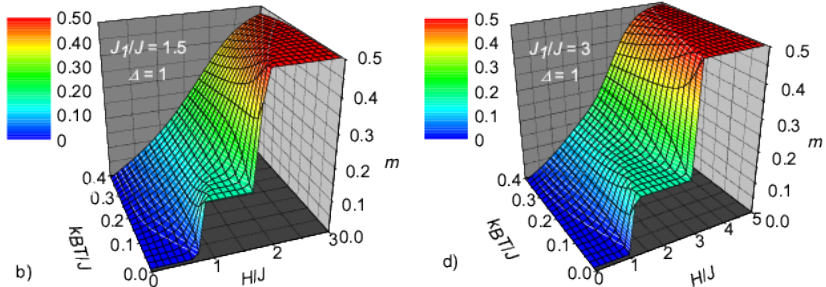
Základný stav



Obr.: Bellova funkcia (vľavo) a concurrence (vpravo) pre $\Delta = 1$

- ▶ v okolí fázových prechodov pozorujeme prudké zmeny Bellovej funkcie aj concurrence
- ▶ podobný priebeh

Magnetizačný proces

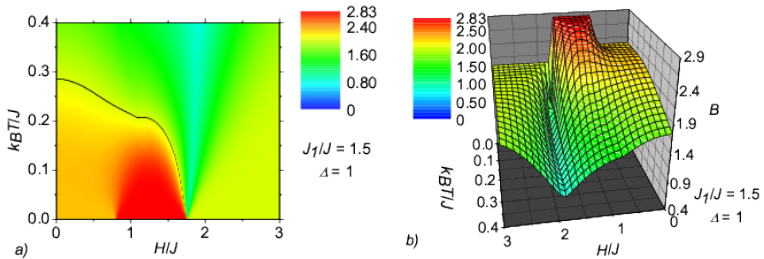


Obr.: magnetizácia pre dva rôzne pomery Isingovej a Heisenbergovej interakcie - vľavo: $\frac{J_1}{J} = 1.5$; vpravo: $\frac{J_1}{J} = 3$

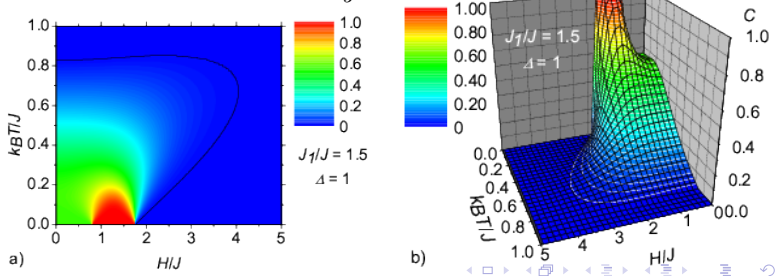
- ▶ nulové plató odpovedá antiferomagnetickej fáze AF
- ▶ $\frac{1}{3}$ plató odpovedá ferimagnetickým fázam FI, resp. FII
- ▶ saturácia odpovedá saturovanej paramagnet. fáze SP

Bellova funkcia a concurrence

- Bellova funkcia pre $\Delta = 1$ a $\frac{J_1}{J} = 1.5$

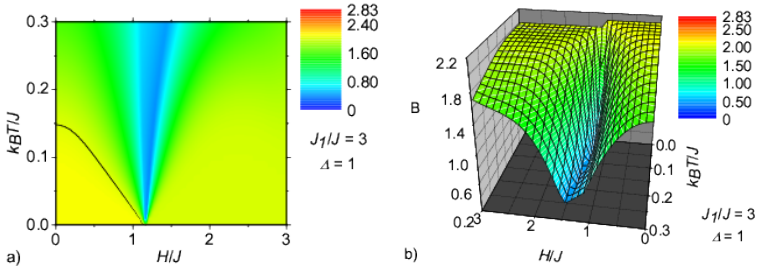


- concurrence pre $\Delta = 1$ a $\frac{J_1}{J} = 1.5$

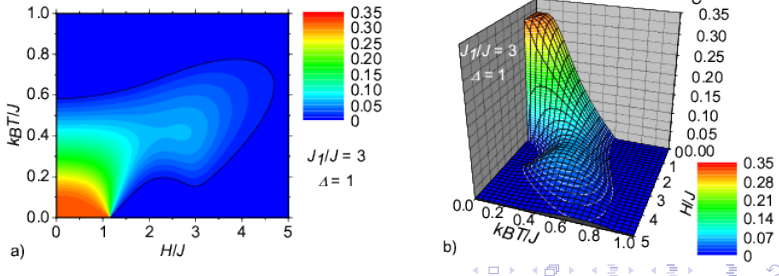


Bellova funkcia a concurrence

- Bellova funkcia pre $\Delta = 1$ a $\frac{J_1}{J} = 3$



- concurrence pre $\Delta = 1$ a $\frac{J_1}{J} = 3$



Záver

- ▶ základný stav
 - ▶ 4 fázy
 - ▶ prudké zmeny nelokálnosti a previazania v okolí fázových prechodov
- ▶ nenulové teploty
 - ▶ teplotná excitácia termálneho previazania a kvantovej nelokálnosti
 - ▶ vplyv magnetizačných plató na termálne previazania a kvantovú nelokálnosť
 - ▶ kvantová nelokálnosť implikuje kvantové alebo termálne previazanie
- ▶ budúcnosť
 - ▶ iné hodnoty Δ
 - ▶ zovšeobecnenie modelu na XYZ
 - ▶ vyššie spiny

Ďakujem za pozornosť